

تحليل منحني التوتر على الشبكة السورية

الدكتور خالد الحمصي¹ الدكتور حسان السويدان²

الملخص

من المعروف أنه عند تحميل خطوط نقل القدرة الكهربائية بالحمل الموافق للممانعة الموجبة لها يكون جريان الاستطاعة الردية عبرها مساوياً للصفر ويكون منحني التوتر ذا شكل مستقيم تقريباً.

وينجم عن الأحمال الخفيفة على خطوط نقل القدرة الكهربائية الطويلة ارتفاع في التوتر في نهاية الاستقبال لهذه الخطوط، أما الأحمال الكبيرة فتؤدي إلى انخفاض كبير في التوتر.

وتستخدم تجهيزات تعويض الاستطاعة الردية لتخفيض التوترات العالية ورفع التوترات المنخفضة في حالة زيادة التحميل، ومن ثمّ تحسين مستوى وشكل منحني التوتر على عقد الشبكة وزيادة الاستطاعة المنقولة واستقرار النظام.

دُرِسَ في هذا البحث منحني التوتر على الشبكة السورية وأثر تعويض الاستطاعة الردية التفرعي في شبكات التوزيع على شكل هذا المنحني، وضيعات النظام وتحسين قدرة النقل وإمكانية إعادة جدولة التوليد.

وتشير نتائج البحث إلى أن انتهاج سياسة جديدة لإدارة الاستطاعة الردية على الشبكة السورية سيؤدي إلى تحسين مستوى منحني التوتر وشكله فضلاً عن فوائد اقتصادية وتقنية كبيرة على الاستطاعة المنقولة وضيعات النظام وجدولة التوليد.

الكلمات المفتاحية: منحني التوتر، تعويض الاستطاعة الردية، هبوط التوتر، قضبان التجميع، خطوط النقل، الأحمال، جدولة التوليد، الشبكة السورية، التحكم بالتوتر

¹وزارة الكهرباء.

²كلية الهندسة الميكانيكية والكهربائية - جامعة دمشق.

1- مقدمة:

تختلف قيمة التوتر في أي عقدة من الشبكة وبدرجة معينة عن القيمة الوسطى لها ويرتبط ذلك بشكل الشبكة والأحمال وعوامل أخرى تؤدي دوراً في تحديد هبوط التوتر مثل توازن الاستطاعة الردية إذ وكما هو معروف يتعلق مستوى التوتر على كامل نظام القدرة ذي التيار المتناوب بمقدار هذا التوازن.

ويؤدي انهيار توازن الاستطاعة الردية إلى تغيير مستوى التوتر في الشبكة حيث يرتفع التوتر بزيادة الاستطاعة الردية المولدة عن المستهلكة والعكس صحيح، إذ ينخفض التوتر عندما تصبح الاستطاعة الردية المولدة أقل من الاستطاعة الردية المستهلكة [1,9,10].

وتؤثر درجة توازن الاستطاعة الردية في تصميم منظمات التوتر وتخضع للتقييم عند إدخال وسائل تنظيم جديدة مثل محطات توليد جديدة وتغيير شكل الشبكة.

في الأنظمة الكهربائية التي تتضمن عجزاً في الاستطاعة الفعلية يكون التوتر أقل من القيمة الاسمية، وعموماً تأخذ هذه الأنظمة ما ينقصها من الاستطاعة الفعلية من الأنظمة المجاورة التي لديها فائض في الاستطاعة الفعلية.

وغالباً ما يصاحب العجز في الاستطاعة الفعلية عجز في الاستطاعة الردية ولكن لا يسمح لهذه الأنظمة بأن تأخذ ما ينقصها من الاستطاعة الردية من الأنظمة المجاورة وبدلاً من ذلك يتم استخدام أجهزة تعويض للاستطاعة الردية.

أما أبرز مستهلكي الاستطاعة الردية في نظم القدرة الكهربائية فهي المحولات، والخطوط الهوائية، والمحركات التحريضية، وتجهيزات التقويم، واللحام الكهربائي وغيرها [5].

وعند البحث في تحليل منحنى التوتر لآبد من البحث في ضياع الاستطاعة الردية ولاسيما أنّ هذا الضياع في عناصر الشبكة الكهربائية كبير جداً ويصل إلى 50% من الاستطاعة الردية على هذه الشبكة.

ويشكل ضياع الاستطاعة الردية في المحولات على اختلاف مستوياتها %75-70 من ضياع الاستطاعة الردية الكلي، إذ تشكل الضياعات الردية في المحولات ثلاثية الطور عند نسبة تحميل 0.8 نحو %12 من الاستطاعة الاسمية للمحولة. دُرِسَ في هذا البحث منحنى التوتر على الشبكة السورية وأثر تعويض الاستطاعة الردية التفرعي في تحسين شكل هذا المنحنى، وكذلك أثر هذا التعويض في الاستطاعة المنقولة وضياعات النظام وإمكانية إعادة جدولة التوليد.

2- العلاقة بين التوتر والاستطاعة الردية

Relation Between Voltage and Reactive Power

تُعطى العلاقة بين فرق التوتر بين عقدتين في الشبكة وجريان الاستطاعة الردية بالشكل [3]:

$$\Delta V = \frac{RP + XQ}{V} \dots\dots\dots(1)$$

إذ:

R : مقاومة خط النقل بالـ ohm.

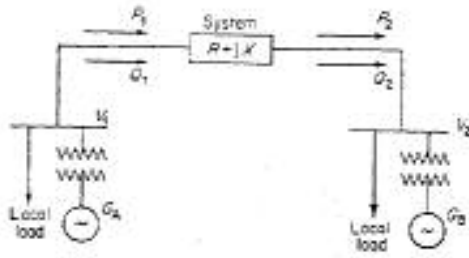
X : مفاعلة خط النقل بالـ ohm.

P : الاستطاعة الكلية بالـ MW.

Q : الاستطاعة الردية بالـ Mvar.

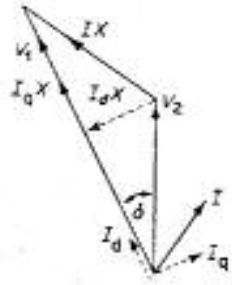
$$\Delta V = V_1 - V_2 : \text{ فرق التوتر بين عقدتين بالـ KV.}$$

في الشبكات الكهربائية التي تتميز بـ $X \gg R$ أي في معظم دارات الاستطاعة هناك علاقة بين هبوط التوتر ΔV والاستطاعة الردية Q. وسيتم بيان ذلك على نظام القدرة الكهربائية المكون من محطتي توليد A, B المبين في الشكل (1) :



الشكل (1) نظام قدرة كهربائي مكون من عقدتين

تتقدم المحطة A على المحطة B بزاوية الطور ويكون V_1 أكبر من V_2 ، ولهذا يكون هناك جريان الاستطاعة الفعلية والاستطاعة الردية من A إلى B. وهذه النتيجة يمكن ملاحظتها على المخطط الشعاعي المبين في الشكل (2).

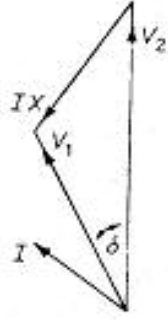


الشكل (2) المخطط الشعاعي للنظام المبين في الشكل (1) عند $V_1 > V_2$.

المقاومة الأومية للخط صفر، المفاعلة التحريضية X ohms، I_d ، I_q مركبات التيار على محوري الإحداثيات.

وواضح من هذا المخطط أن المركبة الطولية للتيار I_d ومن ثم P تتحدد بالزاوية δ ، وتتحدد المركبة العرضانية للتيار I_q ومن ثم Q بـ $V_1 - V_2$.

في هذه الحالة $V_1 > V_2$ وتنتقل الاستطاعة الردية من A إلى B. إذ تم تغيير تهييج المولدات بحيث تكون $V_2 < V_1$ فإن الاستطاعة الردية تعكس اتجاهها كما هو مبين في الشكل (3).



الشكل (3) المخطط الشعاعي للنظام المبين في الشكل (1) عند $V_2 > V_1$

وهكذا فإنه يمكن إرسال الاستطاعة الفعلية من A إلى B أو من B إلى A عن طريق التحكم بكمية البخار (العنفات البخارية) أو بكمية الماء المقدمة إلى العنفة المائية، ويمكن إرسال الاستطاعة الردية في كلا الاتجاهين عن طريق التحكم بطويلة التوترات.

إن حالي التشغيل السابقتين مستقلتان عن بعضهما بعضاً تقريباً إذا كانت $X \gg R$. ويمكن دراسة جريان الاستطاعة الردية بصورة مستقلة تقريباً عن جريان الاستطاعة الفعلية.

من جهة أخرى إذا كان هناك عجز في الاستطاعة الردية في نقطة ما فإن هذه النقطة يجب أن تُغذى من الخطوط المربوطة معها، ومن ثمَّ فإن التوتر على هذه النقطة سينخفض. والعكس بالعكس إذا كان هناك فائض في الاستطاعة الردية فإن التوتر سيرتفع.

عند ضبط الشبكة في الشكل (1) بحيث تكون $Q_2 = 0$ فلن يكون هناك هبوط للتوتر بين A و B، وعندما تكون التوترات V_1, V_2 ثابتة يكون هبوط التوتر ΔV ثابتاً ومن ثمَّ من معادلة هبوط التوتر:

$$\Delta V = \frac{RP_2 + XQ_2}{V_2} \dots \dots \dots (2)$$

يكون لدينا:

$$Q_2 = \frac{V_2 \cdot \Delta V - R P_2}{X} = K - \frac{R}{X} P_2 \dots \dots \dots (3)$$

حيث

K : ثابت.

إذا لم تكن Q_2 متوافرة على الشبكة فإنه يجب تأمينها من مصادر خارجية مثل المكثفات والمعوضات المتوافقة. عند تغيير P_2 إلى P_2' وبقاء V_2 ثابتاً فإن الاستطاعة الردية في B يجب أن تتغير إلى Q_2' بحيث :

$$Q_2' - Q_2 = \frac{R}{X} (P_2' - P_2) \dots \dots \dots (4)$$

من جهة أخرى تعطى العلاقة بين التوتر في العقدة والاستطاعة الفعلية والردية بالتابع:

$$V = f(P, Q)$$

ويتعلق التوتر بالعقد المجاورة وكيفية تمثيلها على افتراض أنها قضبان تجميع لا نهائية

المشتق الكلي للتوتر:

$$dV = \frac{\partial V}{\partial P} dP + \frac{\partial V}{\partial Q} dQ$$

وباستخدام العلاقات:

$$\frac{\partial P}{\partial V} \cdot \frac{\partial V}{\partial P} = 1, \quad \frac{\partial Q}{\partial V} \cdot \frac{\partial V}{\partial Q} = 1$$

فإننا نحصل على :

$$dV = \left(\frac{\partial P}{\partial V} \right) dP + \left(\frac{\partial Q}{\partial V} \right) dQ \dots \dots \dots (5)$$

نلاحظ من المعادلة (5) أن تغيير التوتر في عقدة ما يتعلق بكميتين $\frac{\partial Q}{\partial V}$ ، $\frac{\partial P}{\partial V}$ وعادةً تكون الكمية $\frac{\partial Q}{\partial V}$ ذات أهمية أكبر في هذا المجال.
من المعادلة (1) والمعادلة (5) نستطيع أن نكتب:

$$\frac{\partial Q}{\partial V} = \frac{V_1 - V_2}{X} \dots \dots \dots (6)$$

ويتضح من هذه العلاقة أنه كلما كانت المفاعلة المرتبطة بالعقدة أصغر كانت القيمة $\frac{\partial Q}{\partial V}$ كبيرة، ومن ثمَّ هبوط توتر أقل، وكلما زاد عدد الخطوط المتصلة مع العقدة انخفضت المفاعلة المحصلة، ومن ثمَّ كبرت القيمة $\frac{\partial Q}{\partial V}$. أي إنَّ لشكل الشبكة ومكوناتها تأثيراً واضحاً في الاستطاعة الردية وهبوط التوتر.

هناك بعض الحالات التي تحدث فيها مشاكل في جريان الاستطاعة الردية تؤدي إلى فقدان استقرار التوتر نذكر منها على سبيل المثال لا الحصر :

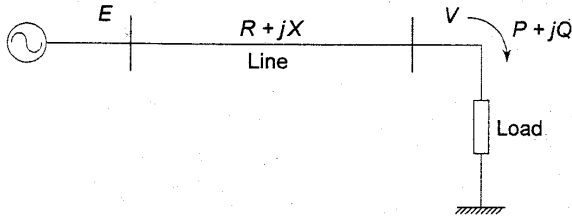
1- خطوط النقل الطويلة التي لا يوجد فيها تحكم بالتوتر في قضبان تجميع نهاية الاستقبال المحملة بحمولات خفيفة أو حمولات زائدة.

2- خطوط النقل الشعاعية : معظم الشبكات المتوازية مكونة من خطوط شعاعية ينجم عن فقدان أحد هذه الخطوط زيادة المفاعلة التحريضية وحدوث خلل ما بين الاستطاعة الردية المقدمة من الخط والاستطاعة الردية المطلوبة من الحمل الأمر الذي يؤدي إلى خلل في استقرار التوتر.

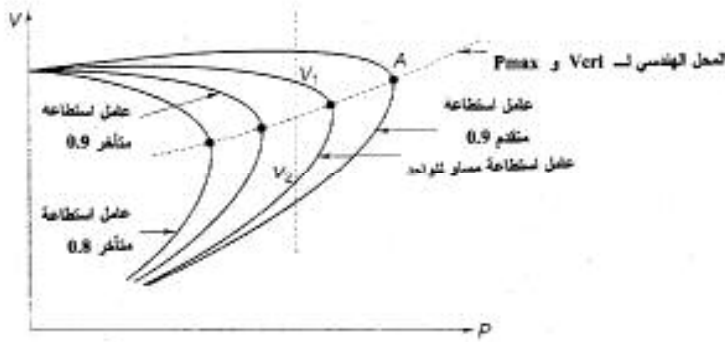
3- عجز في الاستطاعة الردية المولدة محلياً : يمكن أن يحدث تضارب بين جداول الصيانة وخروج بعض التجهيزات عن الخدمة يؤدي إلى عجز في الاستطاعة الردية ومشاكل في التحكم بالتوتر [4].

تستخدم المنحنيات PV والمنحنيات VQ لدراسة حدود التحميل المرتبطة باستقرار التوتر. من أجل الخط المبين في الشكل (4) نجد أنه لأجل كل قيمة للاستطاعة p

هناك قيمتان للتوتر عند عامل استطاعة محدد كما هو مبين في الشكل (5) حيث تم رسم منحنيات PV لأجل قيم مختلفة لعامل الاستطاعة. القيمة العليا للتوتر تشير إلى حالة مستقرة في حين تقع القيمة الدنيا في المنطقة غير المستقرة للتوتر.



الشكل (4) خط نقل يصل بين باسبارين



الشكل (5) منحنيات PV لأجل عوامل استطاعة مختلفة

من أجل جريان الاستطاعة الردية Q وبفرض $X \gg R$ أي $\phi \approx 90^\circ$ (وهو تقريب مقبول) يكون لدينا :

$$Q = \frac{EV}{X} \cos \delta - \frac{V^2}{X} \dots \dots \dots (7)$$

حيث δ زاوية الحمولة أو العزم. بإعادة ترتيب المعادلة السابقة نحصل على:
 $V^2 - EV \cos \delta + QX = 0$ (8)

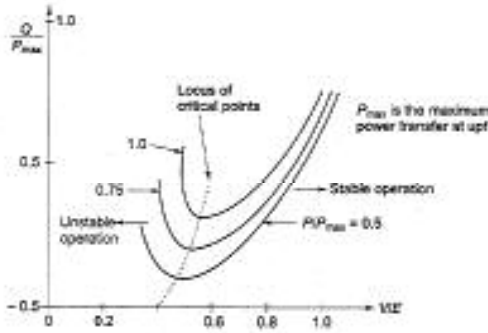
وبأخذ المشتق الأول نحصل على :

$$\frac{dQ}{dV} = \frac{E \cos \delta - 2V}{X} \dots\dots\dots(9)$$

ويبين الشكل (6) المنحنيات $\frac{Q}{E}$, $\frac{V}{E}$, $\frac{P}{P_{max}}$ لأجل قيم مختلفة لـ $\frac{P}{P_{max}}$

(Pmax الاستطاعة العظمى الموافقة للزاوية $\delta = 90^\circ$) ويتضح من هذا الشكل أن النظام يكون مستقرًا في المنطقة حيث $\frac{dQ}{dV}$ موجب ويبلغ التوتر حد الاستقرار عند $\frac{dQ}{dV} = 0$ التي تعدُّ نقطة العمل الحرجة، وتعطى قيمة الاستطاعة الرديئة المنقولة الحدية بالعلاقة :

$$Q_{Limit} = \frac{V^2}{X} \cos 2\delta \dots\dots\dots(10)$$



الشكل (6) المميزات QV لخط النقل المبين في الشكل (4)

ويمكن تعميم هذه الدراسة على خط النقل على كامل نظام القدرة مع الأخذ بالحسبان عوامل أخرى إضافية تسهم في التأثير في استقرار التوتر مثل قوة نظام النقل،

مستويات نقل الاستطاعة، ومميزات الأحمال، وحدود توليد الاستطاعة الرديئة في المولدات فضلاً عن مميزات تجهيزات تعويض الاستطاعة الرديئة. وسنقدم فيما يأتي استعراضاً سريعاً لطرائق التحكم بالتوتر المعروفة.

طرائق التحكم بالتوتر

هناك عدة طرائق للتحكم بالتوتر، وفي كل طريقة يتم تغيير التوتر وفقاً لتغير الحمل للحصول على توتر - ثابت قدر الإمكان - في طرف المستهلك من النظام:

التحكم بالتهيج

تستخدم هذه الطريقة فقط في محطات التوليد. عند تغير أحمال نظام القدرة يتغير توتر خرج المولدات نتيجة لهبوط التوتر على المفاعلة الترانسية للمولد، ويمكن الحفاظ على توتر ثابت على خرج المولدات عن طريق تغيير تيار التهيج للمولدات تبعاً للحمل وهو ما يُعرف بطريقة التحكم بالتهيج.

يمكن التحكم بالتهيج باستخدام منظم آلي أو يدوي، ويفضل استخدام المنظمات الآلية في النظم الكهربائية المعقدة.

المحولات المنظمة للتوتر

المحولات المزودة بمبادل للتفريعات:

تصلح طريقة التحكم بالتهيج للخطوط القصيرة نسبياً، إلا أنها لاتصلح للمنظم ذات الخطوط الطويلة لذلك تستخدم طرائق أخرى للتحكم مثل المحولات المزودة بمبادل للتفريعات، وعادةً تكون التفريعات على الطرف الثانوي للمحولات، ويتم التحكم بالتوتر في هذه الطريقة عن طريق تغيير نسبة عدد اللفات في المحولة. وهناك نوعان من المحولات المزودة بمبادل للتفريعات: المحولات المزودة بمبادل للتفريعات على اللاحمل و المحولات المزودة بمبادل للتفريعات على الحمل.

المحولات المعدلة لطويلة التوتر:

في هذه الطريقة يتم على كل طور مثلاً الطور a إضافة توتر ΔV_{an} إلى التوتر الأساسي V_{an} بحيث يكون التوتر المحصل:

$$V'_{an} = V_{an} + \Delta V_{an}$$

ويتم تأمين التوتر ΔV_{an} عن طريق محول تهيج ومحول تسلسلي وتكون زاوية الطور لـ ΔV_{an} مماثلة لزاوية الطور لـ V_{an} .

المحولات المعدلة لزاوية الطور للتوتر:

يتم هنا حقن توتر ΔV_{bc} له زاوية طور مختلفة عن زاوية الطور للتوتر الأساسي V_{an} ، ومن ثمَّ يصبح التوتر المحصل

$$V'_{an} = V_{an} + \Delta V_{bc}$$

بزاوية طور جديدة، وتطبق نفس التقنية على الطورين b, c ويمكن التحكم بمقدار إزاحة الطور عن طريق محول التهيج.

المكثفات التسلسلية:

عند وصل المكثفات التسلسلية تنخفض المفاعلة التحريضية بين الحمل ومصدر التغذية مما يؤدي إلى تقليل هبوطات التوتر، إلا أنه يجب الانتباه إلى أن هذه المكثفات تولد توترات عالية على أطرافها في حالات القصر.

المكثفات والملفات التفرعية:

تستخدم المكثفات التفرعية عند الأحمال التحريضية لتزودها بجزء من الاستطاعة الردية التي تحتاجها هذه الأحمال ومن ثمَّ تخفيض الاستطاعة الردية المنقولة عبر الخط وبقاء التوتر على الخط ضمن الحدود المرغوب فيها.

وبشكل مماثل تستخدم الملفات التفرعية مع الأحمال السعوية والخطوط ذات الحمولات الخفيفة لاسترجار جزء من الاستطاعة الردية والحفاظ على التوتر ضمن المجال المسموح [8].

ويتم ربط المكثفات إما مباشرة أو من خلال الملف الثالث للمحول الرئيسي. السبب الرئيسي لهذه الطريقة أنه عند انخفاض التوتر على قضبان التجميع تنخفض الاستطاعة الردية المقدمة أي تنخفض فعالية هذه المكثفات وقت الحاجة إليها. أما فيما يخص المفاعلات التحريضية فهناك طريقتان أساسيتان لربط هذه المفاعلات:

- ربط المفاعلات التحريضية مع الباسبار بواسطة آلية وصل - فصل.
- ربط المفاعلات التحريضية إلى نهاية خط النقل بشكل ثابت.

3- دراسة منحني التوتر عند الحمل الأعظمي للشبكة السورية للعام 2010

Voltage Profile Analysis on Syrian Network 2010

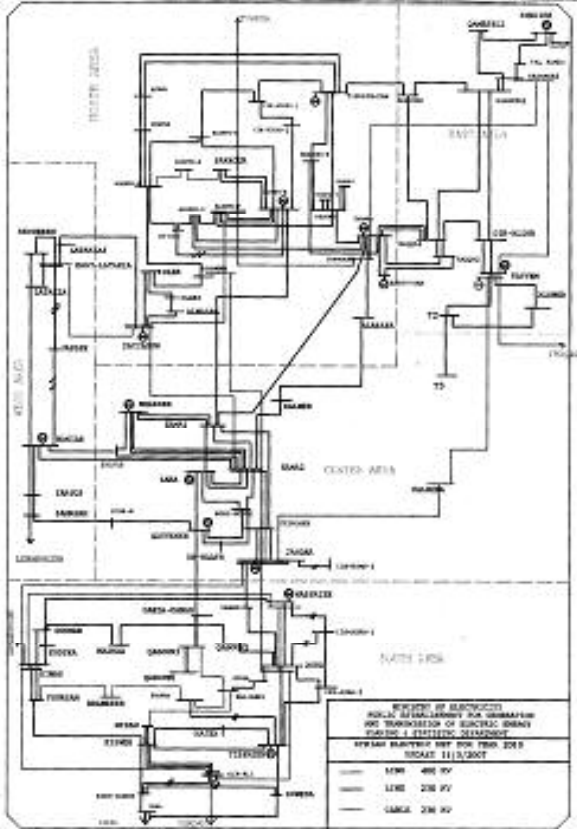
استناداً إلى الدراسة السابقة سنقوم بتحليل مستوى منحني التوتر وشكله للشبكة السورية للعام 2010 المبينة في الشكل (7) واستراتيجية التعويض للأحمال والشبكة. سنستخدم معطيات الشبكة السورية 400 kV, 230 kV، محولات التوليد والنقل والتوزيع التي تم الحصول عليها من وزارة الكهرباء، وتمثل الأحمال على طرف التوتر المنخفض للمحولات وسنستخدم برنامج تحليل الشبكات PSS/E لإنجاز الحسابات اللازمة [2].

وستؤخذ القيم العليا للتوتر الواقعة في المنطقة المستقرة وستؤخذ عوامل الاستطاعة من تسجيلات الشبكة، وتظهر بعض هذه التسجيلات قيماً منخفضة لعامل الاستطاعة للأحمال على المحولات 230/66 kV.

الاستطاعة الردية مقدمة من الشبكة حيث تقوم المولدات بإنتاج القسم الأعظم منها، وهذا يعني أن الاستطاعة الردية غير كافية [6]. ونتيجة لذلك يتم نقل الاستطاعة الردية من أجزاء أخرى من الشبكة، وهذه الاستراتيجية من التشغيل لها مساوئ متعددة أهمها:

- ضياعات استطاعة فعلية عالية نتيجة لزيادة التيار الردي في الخطوط والمحولات.
- هبوطات توتر عالية في الشبكة تؤدي إلى انخفاض التوتر في بعض أجزاء النظام وزيادة الضياعات.

- أحياناً تكون هناك حاجة لإعادة تشكيل الشبكة حيث تظهر الحاجة لإنشاء خطوط جديدة لتجنب هبوط التوتر في شبكة النقل.
كقاعدة عامة يجب عدم نقل الاستطاعة الردية لمسافات طويلة في نظام القدرة الكهربائية بل يجب أن تولد وتستهلك محلياً قدر الإمكان.
المبدأ الآخر الذي يجب السعي لتحقيقه هو منحني التوتر المنبسط Flat Voltage Profile الذي يعني أن التوتر يجب أن يكون متماثلاً في جميع العقد (قضبان التجميع).



الشكل (7) الشبكة الكهربائية السورية للعام 2010

منحى التوتر:

يمكن التحقق من شكل منحى التوتر عن طريق استعراض قضبان التجميع التي يكون فيها التوتر إما مرتفعاً أو منخفضاً بشكل كبير. ويبين الجدول 1/ بعض قضبان التجميع من الشبكة السورية التي تتميز بتوتر أكبر من 105%.

الجدول 1/ قضبان التجميع ذات التوتر أكبر من 105%

X-----	BUS	-----X	AREA	V (PU)	V (KV)	X-----	BUS	-----X	AREA	V (PU)	V (KV)
54026	PALMERA	400	12	1.0670	426.78	55013	SIN-HOMS	230	12	1.0567	243.05
55014	HOMS-NOR	230	12	1.0515	241.84	55015	PALMERA	230	12	1.2552	288.71
55400	JANDAR 1	230	12	1.0592	243.62	55450	HAMA 2	230	12	1.0593	243.64
55440	MEHARDEH	230	12	1.0537	242.35	55450	HAMA 1	230	12	1.0508	241.69
55470	ZARA	230	12	1.0675	245.53	55700	BAATH	230	15	1.0581	243.35
55710	THAWRA	230	15	1.0609	244.00	57005	PALMERA	20.0	12	1.2552	25.105
57063	THAWRA	20.0	15	1.0572	21.143	57401	JANDAR	20.0	12	1.0597	21.194
57402	JANDAR	20.0	12	1.0597	21.194	57431	HAMA 2	20.0	12	1.0569	21.138
57432	HAMA 2	20.0	12	1.0569	21.138	59471	ZARSTO1	15.0	12	1.1221	16.831
59472	ZARSTO2	15.0	12	1.1221	16.831	59473	ZARSTO3	15.0	12	1.1221	16.831

ويتضح من هذا الجدول أن محطات الـ 230 kV والـ 400 kV الواردة تعاني من ارتفاع التوتر. وبصورة مماثلة يبين الجدول 2/ بعض قضبان التجميع من الشبكة السورية التي تتميز بتوتر أقل من 98%.

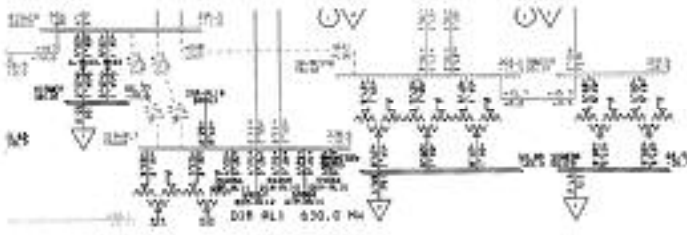
الجدول 2/ قضبان التجميع ذات التوتر أقل من 98%

X-----	BUS	-----X	AREA	V (PU)	V (KV)	X-----	BUS	-----X	AREA	V (PU)	V (KV)
55011	DARAA	230	11	0.8809	202.60	55012	BRANEKEH	230	11	0.9601	220.83
55019	SACHOR	230	14	0.9641	221.73	55020	SIN-ALEP	230	14	0.9769	224.68
55021	HRETAN	230	14	0.9679	222.61	55022	ALSPO A	230	14	0.9620	221.27
55023	MABROKEH	230	15	0.9673	222.48	55024	TALHAMES	230	15	0.9633	221.55
55100	SH-MESKH	230	11	0.8851	203.58	55110	SOWEDA	230	11	0.8890	204.46
55120	KISWEH	230	11	0.9761	224.50	55130	FOURSAN	230	11	0.9602	220.85
55160	MIDAN 2	230	11	0.9645	221.82	55170	DOUNAR	230	11	0.9564	219.97
55180	QANOUN 1	230	11	0.9586	220.47	55190	DAHEIT-D	230	11	0.9587	220.74
55210	DIMAS	230	11	0.9631	221.51	55230	ZAHERA	230	11	0.9612	221.08
55240	MAERAR	230	11	0.9534	219.27	55600	IDLEH	230	14	0.9678	222.60
55620	ALEPPO-D	230	14	0.9634	221.58	55630	ALEPPO-H	230	14	0.9569	220.08
55640	ALEPPO-B	230	14	0.9573	220.19	55730	DAH-ALEP	230	14	0.9625	221.38
55930	HASSAKEN	230	15	0.9624	221.35	55940	QAMESHLI	230	15	0.9544	219.50
56032	SIN-ADRA	66.0	11	0.9764	64.440	56041	SACHOR	66.0	14	0.9784	64.576
56042	SIN-ALEP	66.0	14	0.9713	64.104	56043	HRETAN	66.0	14	0.9787	64.593
56044	ALEPPO A	66.0	14	0.9727	64.201	56046	TALHAMES	66.0	15	0.9739	64.277
56610	ZAYZOUN	66.0	14	0.9777	64.530	56640	ALEPPO-B	66.0	14	0.9761	64.423
56680	MESKNEH	66.0	14	0.9772	64.492	56730	DAH-ALEP	66.0	14	0.9739	64.274
57003	DIMAS	20.0	11	0.9578	19.156	57151	ADRA 2	20.0	11	0.9793	19.585
57152	ADRA 2	20.0	11	0.9793	19.585	57211	DIMAS	20.0	11	0.9578	19.156
57671	ALEPPO F20	0	14	0.9780	19.560	57672	ALEPPO F20	0	14	0.9780	19.560
58611	ZAYZOUN	15.0	14	0.9774	14.661	58631	ALEPPO-B15	0	14	0.9780	14.671

وعملياً هناك 26 محطة على مستوى التوتر 230 kV ذات توتر تشغيل أقل من 98% وهو ما يعادل (225.4 kV).

تحويل الاستطاعة الردية :

إن مشكلة نقل الاستطاعة الردية من المولدات إلى الحمل مبينة في الشكل (8) حيث يتم توليد الاستطاعة الردية من المولدات في محطة دير علي (228.6 kV) وتنتقل عبر محطة الكسوة (224.6 kV) إلى محطة الشيخ مسكين (203.6 kV). ونلاحظ أن هناك هبوط توتر كبيراً (أكبر من 20 kV) على خط النقل من الكسوة إلى الشيخ مسكين.



الشكل (8) مثال على هبوط التوتر الناتج عن نقل الاستطاعة الردية

نلاحظ أن الحمل على قضيب تجميع الشيخ مسكين 66 kV هو 162 MW و 89.4Mvar والحمل على قضيب تجميع السويداء هو 115 MW و 57.2 Mvar. وهنا من المفيد تركيب مكثفات تفرعية على شبكة التوزيع لتحسين عامل الاستطاعة للحمل على المحولات 230/66 kV، وهذا يعني أنه يجب تأمين الاستطاعة الردية التي يحتاجها الحمل وشبكة التوزيع في هذه المنطقة محلياً عن طريق مجموعة مكثفات تفرعية محلية بدلاً من المولدات البعيدة.

توازن الاستطاعة الردية :

في نظام القدرة الكهربائية هناك دائماً توازن بين الاستطاعة الكلية الفعلية والردية والمولدة والاستطاعة الكلية والفعلية والردية المستهلكة، ويبين الجدول 3/ ملخص هذا التوازن للشبكة السورية

الجدول 3/ توازن الاستطاعة على الشبكة السورية

AREA	FROM GENERATION	TO LOAD	TO BUS SHUNT	TO LINE SHUNT	FROM CHARGING	TO NET INT	LOSSES	
11-15	8107.5	8000.0	0.0	0.0	0.0	1.3	106.2	Mvar
SYRIA	3683.7	3434.0	0.0	0.0	2094.8	-74.1	2418.6	Mvar

ويبين السطر الأول في هذا الجدول توازن الاستطاعة الفعلية في حين يبين السطر الثاني توازن الاستطاعة الردية.

وتبين الأعمدة Generation و Charging الاستطاعة المقدمة، في حين تظهر الأعمدة الأخرى الاستطاعة المستهلكة أي أن توازن الاستطاعة الردية هو:

$$\text{Generation} + \text{Charging} = \text{Load} + \text{Bus-shunt} + \text{Line-shunt} + \text{Export} + \text{Losses}$$

$$3683.7 + 2094.8 = 3434 + 0 + 0 - 74.1 + 2418.6$$

الاستطاعة الردية الإجمالية المقدمة 5778.5Mvar، واستطاعة الشحن الكلية على الشبكة الـ 400 kV والـ 230 kV وهي 2095 Mvar (1239 على شبكة الـ 400 و 856 على شبكة الـ 230 kV). قيمة الضياعات التحريضية الكلية في خطوط النقل والمحولات هي 2419 Mvar أي أن هناك توازناً على الشبكة نفسها ولذلك يتم موازنة الاستطاعة الردية للحمل 3434 Mvar عن طريق توليد عالٍ للاستطاعة الردية في محطات التوليد.

يبين الجدول 4/ توازن الاستطاعة في كل منطقة من الشبكة السورية، ويلاحظ من هذا الجدول أنه لأجل المنطقة الجنوبية هناك استيراد مقداره 470 Mvar لتزويد الحمل بالاستطاعة الردية وتغطية الضياعات، فضلاً عن إنتاج المولدات المقدر بـ 1067Mvar. في المنطقة الوسطى، هناك فائض في التوليد يتم تصديره إلى بقية المناطق.

الجدول /4/ توازن الاستطاعة لكل منطقة من الشبكة السورية

AREA	GENERATION	FROM LOAD	TO SUB	TO LINE	FROM	TO	LOSSES	
			SHUNT	SHUNT	CHANGING	MET INT		
11	1777.5	2657.3	0.0	0.0	0.0	-948.4	28.6	MK
SOUTH	1067.3	1228.4	0.0	0.0	363.8	-469.6	672.3	MVDE
12	1910.0	966.1	0.0	0.0	0.0	916.0	27.9	MK
CENTER	830.5	410.6	0.0	0.0	521.7	481.2	460.3	MVAE
13	670.0	906.0	0.0	0.0	0.0	-242.6	6.6	MK
WEST	372.0	376.4	0.0	0.0	89.9	-134.5	210.9	MVDE
14	2050.0	2307.5	0.0	0.0	0.0	-280.0	22.5	MK
NORTH	967.2	937.2	0.0	0.0	464.6	-150.0	652.5	MVAE
15	1700.0	1123.1	0.0	0.0	0.0	556.3	20.0	MK
NORTH-EA	446.8	481.4	0.0	0.0	663.8	206.7	422.5	MVAE

ظاهرة فيرانتني:

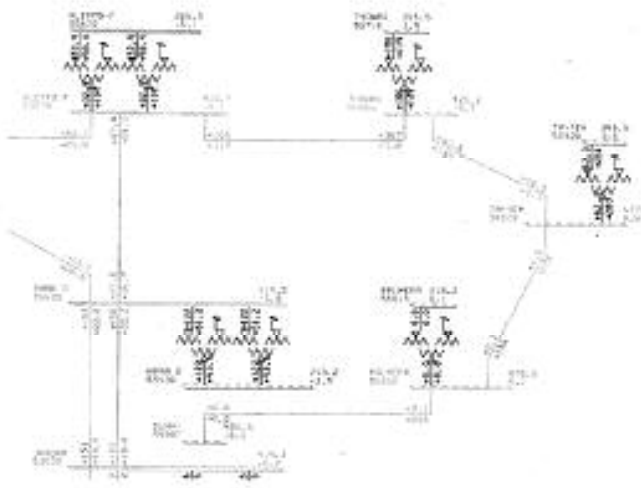
إن الخط المفتوح من نهاية واحدة سيتعرض إلى ارتفاع في التوتر نتيجة لظاهرة فيرانتني، ويزداد تأثير هذه الظاهرة على الخطوط الطولية ذات سعات الشحن الكبيرة والممانعات الكبيرة.

ويبين الجدول /5/ الحالات الحدية على شبكة الـ 400 kV. إن فتح الخط من جندر إلى تدمر من طرف جندر سيؤدي إلى ارتفاع التوتر إلى 481 kV على الطرف المفتوح.

الجدول /5/ حالات فتح الخط الحدية (ظاهرة فيرانتني)

Line open at bus	Going to bus	ID	Voltage
54400 JANDAR 400	54026 PALMERA 400	1	481.5
54029 TAYYEM 400	54026 PALMERA 400	1	465.0
54670 ALEPPO F 400	54062 THAWRA 400	1	441.2

ويبين الشكل (9) جريان الحمولة على الشبكة مباشرة بعد تلك الحالات، حيث وصل التوتر في محطة التيم إلى 438 kV وعلى محطة تدمر إلى 470 kV. لذلك يجب تركيب مفاعلات تفرعية للتعويض والحد من تأثير خطوط الـ 400 kV المفتوحة في المنطقة الشرقية.



الشكل (9) ارتفاع التوتر بعد فتح خط تدمر - جندر من طرف جندر

4- مقترحات لتحسين منحني التوتر، الحمل الأعظمي للعام 2010 :

سنناقش الآن كيف أن التعويض التفرعي يستطيع تحسين شكل منحني التوتر على الشبكة وسنعمد أسلوب إضافة المكثفات التفرعية عند قضبان تجميع الأحمال لتحسين عامل الاستطاعة للحمل والحد من جريان الاستطاعة الردية إلى شبكة التوزيع [7]. طُبِّقَتْ طريقة المعالجة هذه على مناطق الشبكة السورية كلّها وسنكتفي بإيراد النتائج الخاصة بالمنطقة الجنوبية وذلك حفاظاً على مراعاة شروط النشر الخاصة بعدد الصفحات.

المنطقة الجنوبية :

تُشير نتائج حساب جريان الحمولة لهذه المنطقة قبل التعويض التفرعي إلى انخفاض التوتر على عقد الشيخ مسكين - درعا - السويداء وزيادة تحميل على خطوط دير علي - كسوة - والكسوة - شيخ مسكين. ولتصحيح ذلك أُضِفَتْ مكثفات تفرعية في الأماكن المبينة في الجدول /6/.

الجدول 6/ أماكن إضافة المكثفات التفرعية في المنطقة الجنوبية

X-----	BUS	-----X	MVAR
56034	DARAA	66.0	30.0
56035	BRAMEKEH	66.0	35.0
56100	SH-MESKN	66.0	95.0
56110	SOWEDA	66.0	60.0
56120	KISWEH	66.0	50.0
56130	FOURSAN	66.0	80.0
56150	ADRA 2	66.0	80.0
56160	MIDAN 2	66.0	65.0
56170	DOUMAR	66.0	100.0
56190	DAHEIT-D	66.0	125.0
56210	DIMAS	66.0	50.0
56230	ZAHERA	66.0	50.0
56240	MAZRAA	66.0	50.0
57180	QABOUN	120.0	60.0

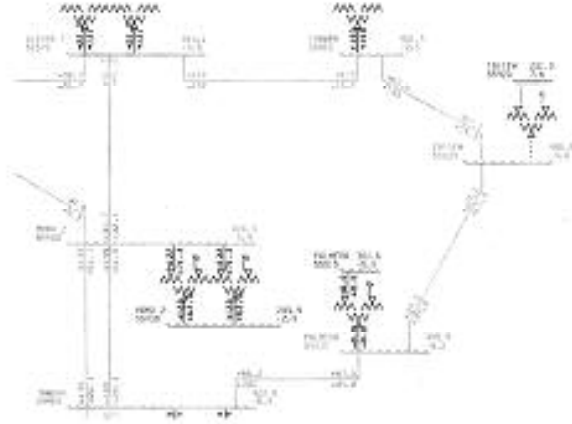
ويتضح من نتائج حساب جريان الحملولة لهذه المنطقة بعد وضع المكثفات أن التوتر أصبح مستويًا بشكل أكبر عما كان عليه قبل وضع المكثفات ويتراوح بين 230 kV و 237 kV، كما نلاحظ أنه لم يعد هناك زيادة تحميل على الخطوط من دير علي إلى الكسوة والشيخ مسكين.

شبكة التوتر العالي 400 kV:

استطاعة الشحن السعوية لهذه الشبكة العالية التوتر كبيرة ينتج عنها فائض في الاستطاعة الردية Mvar في حالات النقل الخفيف. إن الاستطاعة المنقولة على شبكة الـ 400 kV قليلة جداً حتى في حالة الذروة، وجميع خطوط الـ 400 kV على الشبكة السورية تعمل تحت منسوب حمل الممانعة الموجبة (Surge Impedance Loading) (SIL) مما يؤدي إلى فائض في الاستطاعة الردية.

لا توجد مفاعلات تحريضية تفرعية للتعويض على خطوط الـ 400 kV ولذلك فإن كل الاستطاعة الردية الزائدة تصدر عبر المحولات إلى شبكة الـ 230 kV. فضلاً عن التوترات العالية الناجمة عن ظاهرة فيرانتني في حالة الخطوط ذات النهايات المفتوحة هناك حالة طارئة أخرى وهي حالة فصل المحول 400/230 kV

في محطة التيم تؤدي إلى ارتفاع التوتر على باسبارات المنطقة الشمالية الشرقية كما هو مبين في الشكل (10)، حيث يرتفع التوتر إلى 449 kV في عقدة التيم وإلى 446 kV في عقدة تدمر، وهذه القيم تزيد على توترات التصميم لهذه الخطوط. هذا الواقع يؤكد الحاجة للتعويض بواسطة المفاعلات التحريضية على الشبكة.

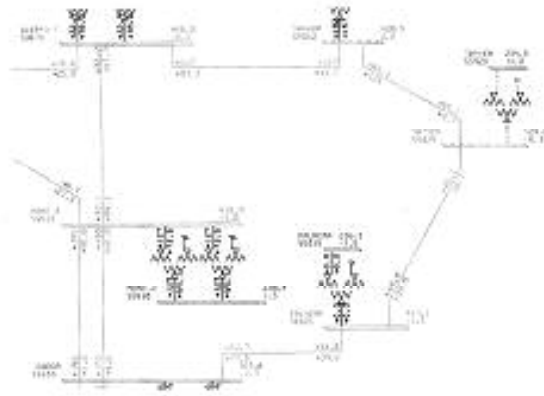


الشكل (10) التوترات بعد فصل المحول 400/230 kV في محطة التيم

إن ربط المفاعلات بشكل ثابت إلى نهاية خط النقل غالباً ما يكون مفيداً على الخطوط الطويلة من الشبكة بسيطة التعقيد، إذ في هذه الحالة فصل المفاعلات التحريضية فقط عند فصل الخط.

ولبيان مدى فائدة المفاعلات التحريضية رُبطت مفاعلات تحريضية باستطاعة 75Mvar إلى خطوط الـ 400 kV في عقدة تدمر.

نلاحظ في هذه الحالة أن فصل المحول في عقدة التيم سيؤدي إلى زيادة التوتر إلى 430 kV في هذه العقدة وإلى 419 kV في عقدة تدمر، كما هو مبين في الشكل (11).



الشكل (11) التوترات بعد فصل المحولة في عقدة التيم مع وجود التعويض التفرعي

كما دُرِسَتْ ظاهرة فيرانتني على الشبكة مع وجود التعويض التفرعي، وقد أعطت هذه

الدراسة النتائج الآتية المبينة في الجدول /7/.

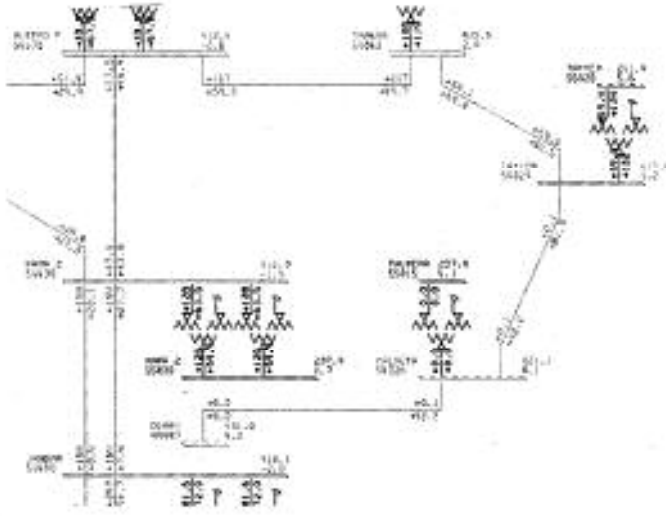
الجدول /7/ تأثير ظاهرة فيرانتني في الخطوط ذات النهايات المفتوحة بوجود التعويض

Line open at bus	Going to bus	ID	Voltage
54670 ALEPPO F 400	54062 THAWRA 400	1	432.5
54220 DIR-ALI 400	50090 AMN400 400	1	431.8
54029 TAYYEM 400	54062 THAWRA 400	1	431.2
54400 JANDAR 400	54026 PALMERA 400	1	431.0
54062 THAWRA 400	54029 TAYYEM 400	1	430.1

إن ارتفاع التوتر في هذه الحالة أقل بكثير من تلك الحالة في حال عدم وجود

التعويض على الشبكة حيث وصل ارتفاع التوتر في أسوأ حالة إلى 481 kV.

ويبين الشكل (12) التوترات بعد فتح خط تدمر في عقدة جندر



الشكل (12) ارتفاع التوتر بعد فتح خط تدمر في عقدة جندر مع وجود مفاعلات التعويض التفرعية في عقدة تدمر

منحنيات التوتر:

بعد إضافة التعويض التفرعي إلى الشبكة أصبح منحني التوتر مستويًا بشكل أفضل، ويبين الجدول /8/ قضبان التجميع ذات التوتر الأكبر من 105% بعد إضافة التعويض التفرعي.

الجدول /8/ قضيب التجميع ذات التوتر الأكبر من 105% بوجود التعويض

X-----	BUS	-----X	AREA	V(PU)	V(KV)	X-----	BUS	-----X	AREA	V(PU)	V(KV)
55710	THAWRA	230	15	1.0501	241.52	57221	DIR-ALI	20.0	11	1.0501	21.003

وبمقارنة نتائج الجدول /8/ بالجدول /1/ يتضح لنا أنه بوجود التعويض التفرعي لا يوجد قضبان توترها أقل من 1pu في حين في الحالة التي لا يوجد فيها تعويض كان هناك 44 قضيب تجميع بتوتر أقل من 0.98pu (الجدول 2).

توازن الاستطاعة الردية :

يبين الجدول /9/ توازن الاستطاعة لكل منطقة من الشبكة السورية بعد إضافة التعويض التفرعي.

الجدول /9/ توازن الاستطاعة لكل منطقة من الشبكة السورية بوجود التعويض

AREA	GENERATION	FROM LOAD	TO SHUNT	TO BUS	TO LINE	FROM SHUNT CHARGING	TO MET INT	LOSS	DESIRED NET INT
11 SOUTH	1777.5	2697.3	0.0	0.0	0.0	0.0	-938.7	18.9	0.0
	331.7	1228.4	-1023.5	0.0	386.5	4.2	509.2		
12 CENTER	1910.0	966.1	0.0	0.0	0.0	920.1	23.7	0.0	
	7.0	410.6	-235.8	156.7	512.6	-140.4	406.8		
13 WEST	670.0	906.0	0.0	0.0	0.0	-241.2	5.2	0.0	
	135.3	376.4	-293.0	0.0	80.0	-23.4	177.3		
14 NORTH	2050.0	2307.5	0.0	0.0	0.0	-274.5	17.4	0.0	
	295.1	937.2	-716.0	0.0	474.3	8.6	538.6		
15 NORTE-RA	1780.0	1123.1	0.0	0.0	0.0	560.1	16.8	0.0	
	33.1	481.4	-343.0	78.4	662.2	105.3	373.3		

ضياعات النظام:

بلغت الضياعات الكلية على الخطوط 230kV و 400kV في الشبكة السورية 106MW قبل التعويض و 82MW بعد إضافة التعويض التفرعي وبذلك فقد تم تخفيض الضياعات التقنية بمقدار 23% عن طريق إضافة التعويض التفرعي إلى شبكة التوزيع.

جدولة التوليد:

بهدف دراسة إمكانية إعادة جدولة التوليد بين المناطق واستخدام خطوط الـ 400kV لنقل القدرة داخل سورية أُجريت تحليل الحساسية، حيث تم إيقاف المحطات المائية في شمال سورية واستبدلت بزيادة التوليد في المنطقة الوسطى والجنوبية والاستيراد من مصر وتخفيض الحمل بمقدار 6.25%.

إجراء التغييرات هذه في جدول التوليد دون وجود تعويض أدى إلى حالة من جريان الحمولة لا يمكن حلها على عكس الحالة التي يوجد فيها تعويض للاستطاعة الردية، وهذا يشير إلى ضرورة تشغيل المحطات المائية عند الحاجة إلى تشغيل النظام دون

تعويض في حين أنه يمكن إيقاف هذه المحطات في حال وجود توازن استطاعة ردية جيداً على النظام.

وبهذا فإن الوضع الحالي الذي تعمل فيه المحطات المائية في حالات الحمولات الخفيفة بهدف استقرار الشبكة سينحسن في حال تطبيق التعويض التفرعي على الأحمال، وهذا سيعطي إمكانية تشغيل المحطات المائية بطريقة أفضل.

5- النتائج والتوصيات:

واضح أن نظام القدرة في القطر العربي السوري لا يعمل بصورة مثالية وينجم عن ذلك توترات منخفضة وضياعات نقل كبيرة وضح استثمارات غير ضرورية ذات كلفة اقتصادية عالية.

تبين الدراسة التحليلية على الشبكة السورية أن هناك فوائد متعددة للتعويض التفرعي نذكر منها ما يأتي:

- تحسين مستوى منحني التوتر وشكله على الشبكة، إذ يقل التباين بين قيم التوتر على قضبان التجميع.
- تقليل ضياعات النظام نتيجة لانخفاض قيمة التيار على خطوط الشبكة.
- زيادة الاستطاعة المنقولة.
- إمكانية إعادة جدولة التوليد.

يجب عدم السماح لشبكة التوزيع باستقرار استطاعة ردية من شبكة النقل إلا ضمن الحدود المعقولة، وبالمقابل يجب تركيب تجهيزات تعويض تفرعي على شبكة التوزيع لتحسين عامل الاستطاعة للمحولات 230/66 kV مع ملاحظة أنه يجب فصل تجهيزات التعويض خلال أوقات الحمولات الخفيفة، وذلك لتجنب حقن شبكة النقل باستطاعة ردية إضافية.

الأمر الآخر المهم هو ضرورة مراقبة توازن الاستطاعة الردية على شبكة التوزيع ووصل المكثفات التفرعية أو فصلها حسب الحاجة.

طبعاً سيترتب على تطبيق التعويض التفرعي تكاليف اقتصادية إضافية على شبكة التوزيع، ولكن هذه التكاليف مبررة حيث يؤدي التعويض التفرعي إلى تأجيل تركيب خطوط ومحولات جديدة نظراً إلى أنّ التوتر يكون ضمن الحدود المسموحة، كما أن تحميل الخطوط يكون ضمن المجال المسموح به.

لذلك يجب النظر إلى التعويض التفرعي على أنه وسيلة ناجعة ورائجة ذلك أنها تقلل من الكلفة الإجمالية للشبكة إلى أنّ تخفيض تكاليف الاستثمار يكون أكبر من كلفة التعويض التفرعي.

المراجع

- 1- Saadat Hadi , Power System Analysis ,Mc Graw –Hill , New York ,1999.
- 2- PSS/E Power System Analysis Program, PTI, Ver 29 , 2000.
- 3- Weedy B.M, Electric Power System, JOHN WILEY&SONS, 1989.
- 4- Kothari D.P. , Nagrath I.J , Modern Power System Analysis , Mc Grow Hill, New York.2003.
- 5- Lakervi E., Holmes E.J., Electricity Distribution Network Design, Short Run Press Ltd , England 1995.
- 6- Fabio Saccomano , Electric Power System , IEEE PRESS ,2003.
- 7-Northcote J., Wilson R., Control and Automation of Electrical Power Distribution System, CRC Press, 2007.
- 8- Duncan G., Mulukutla S., Power System Analysis and Design, Thomson Corporation, United States, 2008.

9- أ. د. علي حمزة : نظم القدرة الكهربائية- منشورات جامعة دمشق، 2008

10- أ. د. شوقي بطل: تحليل الشبكات الكهربائية- منشورات جامعة دمشق، 1987

تاريخ ورود البحث إلى مجلة جامعة دمشق: 2009/4/2.